

**АВТОМОДЕЛЬНЫЕ ЗАДАЧИ ПРОСТРАНСТВЕННОГО ПОГРАНИЧНОГО
СЛОЯ ПРИ НАЛИЧИИ ОТСОСА ИЛИ ВДУВА**

Э. М. Любавин, Е. С. Ходорковский

(Комсомольск-на-Амуре)

Получены функции распределения скорости на внешней границе пограничного слоя и функции распределения скорости протекания жидкости вдоль проницаемой поверхности, для которых интегрирование исходных уравнений в частных производных, описывающих движение жидкости в пространственном пограничном слое в ламинарном режиме, может быть сведено к интегрированию системы обыкновенных дифференциальных уравнений. Приведены результаты численного решения одного из случаев автомодельного пространственного ламинарного пограничного слоя, выполненного на ЭВМ «Минск-22».

1. Задача определения характеристик движения несжимаемой жидкости в пространственном ламинарном пограничном слое на цилиндрической проницаемой поверхности сводится к интегрированию системы уравнений в частных производных

$$(1.1) \quad u_1 \frac{\partial u_1}{\partial x_1} + u_2 \frac{\partial u_2}{\partial x_2} + u_3 \frac{\partial u_3}{\partial x_3} = U_1 \frac{\partial U_1}{\partial x_1} + U_2 \frac{\partial U_2}{\partial x_2} + v \frac{\partial^2 u_1}{\partial x_3^2}$$

$$(1.2) \quad u_1 \frac{\partial u_2}{\partial x_1} + u_2 \frac{\partial u_1}{\partial x_2} + u_3 \frac{\partial u_2}{\partial x_3} = U_1 \frac{\partial U_2}{\partial x_1} + U_2 \frac{\partial U_1}{\partial x_2} + v \frac{\partial^2 u_2}{\partial x_3^2}$$

$$(1.3) \quad \frac{\partial u_1}{\partial x_1} + \frac{\partial u_2}{\partial x_2} + \frac{\partial u_3}{\partial x_3} = 0$$

при следующих граничных условиях:

$$(1.4) \quad \begin{aligned} u_1 &= 0, & u_2 &= 0, & u_3 &= v_0 & \text{при } x_3 = 0 \\ u_1 &= U_1(x_1, x_2), & u_2 &= U_2(x_1, x_2) & \text{при } x_3 = \infty \end{aligned}$$

где оси декартовой системы координат x_1 и x_2 расположены на поверхности тела, ось x_3 — перпендикулярно к ней, v_0 — скорость протекания жидкости через проницаемую поверхность ($v_0 > 0$ при вдуве, $v_0 < 0$ при отсасывании).

Для отыскания автомодельных решений системы уравнений (1.1) — (1.3) перейдем к безразмерным величинам, введя характерные масштабы длины L и скорости U_0 , определяющие число Рейнольдса $Re = U_0 L / v$ течения.

Поперечную координату примем в виде

$$(1.5) \quad \eta = x_3 \sqrt{Re} / (L f_1(x_1) f_2(x_2))$$

где $f_1(x_1)$, $f_2(x_2)$ — безразмерные масштабные множители, позволяющие совершать преобразование подобия для всех профилей скорости в пограничном слое.

Эти множители подлежат определению наряду с распределениями составляющих $U_1(x_1, x_2)$ и $U_2(x_1, x_2)$ — скорости потенциального потока, которые по аналогии будем рассматривать в виде!

$$(1.6) \quad U_1(x_1, x_2) = V_1(x_1) V_2(x_2), \quad U_2(x_1, x_2) = W_1(x_1) W_2(x_2)$$

2. Используя граничные условия (1.4), из уравнения (1.3) получим для составляющей скорости $u_3(x_1, x_2, x_3)$

$$(2.1) \quad u_3 = v_0 - \int_0^{x_3} \left(\frac{\partial u_1}{\partial x_1} + \frac{\partial u_2}{\partial x_2} \right) dx_3$$

В случае существования автомодельного движения составляющие $u_1(x_1, x_2, x_3)$ и $u_2(x_1, x_2, x_3)$ скорости определяются выражениями

$$(2.2) \quad u_1 = V_1(x_1) V_2(x_2) F_{1\eta}(\eta), \quad u_2 = W_1(x_1) W_2(x_2) F_{2\eta}(\eta)$$

где $F_1(\eta)$ и $F_2(\eta)$ — неизвестные функции безразмерной поперечной координаты η . С учетом (1.5) и (2.2) уравнение (2.1) приводится к виду

$$(2.3) \quad u_3 = v_0 + \frac{U_0}{\sqrt{Re} f_1 f_2} \{ c_1 [\eta F_{1\eta}(\eta) - F_1(\eta)] - a_1 F_1(\eta) + g_1 [\eta F_{2\eta}(\eta) - F_2(\eta)] - k_1 F_2(\eta) \}$$

Подставляя соотношения (2.2) и (2.3) в (1.1) и (1.2), приходим к системе уравнений для определения функций $F_1(\eta)$ и $F_2(\eta)$

$$(2.4) \quad F_{1\eta\eta\eta} + a_1(1 - F_{1\eta}^2 + F_1 F_{1\eta\eta}) + c_1 F_1 F_{1\eta\eta} + b_1(1 - F_{2\eta} F_{1\eta}) + \\ + (g_1 + k_1) F_2 F_{1\eta\eta} + G F_{1\eta\eta} = 0 \\ F_{2\eta\eta\eta} + k_1(1 - F_{2\eta}^2 + F_2 F_{2\eta\eta}) + g_1 F_2 F_{2\eta\eta} + b_2(1 - F_{1\eta} F_{2\eta}) + \\ + (c_1 + a_1) F_1 F_{2\eta\eta} + G F_{2\eta\eta} = 0$$

$$(2.5) \quad a_1 = \frac{L}{U_0} f_1^2 f_2^2 V_1' V_2, \quad c_1 = \frac{L}{U_0} f_1 f_1' f_2^2 V_1 V_2, \quad b_1 = \frac{L}{U_0} f_1^2 f_2^2 \frac{V_2'}{V_2} W_1 W_2 \\ g_1 = \frac{L}{U_0} f_1^2 f_2 f_2' W_1 W_2, \quad k_1 = \frac{L}{U_0} f_1^2 f_2^2 W_1 W_2', \quad b_2 = \frac{L}{U_0} f_1^2 f_2^2 V_1 V_2 \frac{W_1'}{W_1} \\ G = -\frac{v_0}{U_0} \sqrt{\text{Re}} f_1 f_2$$

где штрих означает дифференцирование функции по переменной, от которой эта функция зависит.

Границочные условия полученной системы уравнений записываются в соответствии с (1.4), (2.2) и (2.3)

$$(2.6) \quad F_1 = 0, F_2 = 0, F_{1\eta} = 0 \quad \text{при } \eta = 0 \\ F_{1\eta} = i, F_{2\eta} = 1 \quad \text{при } \eta = \infty$$

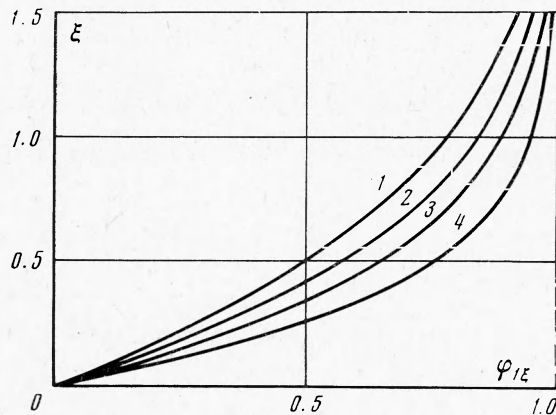
№	V_1 / α	V_2 / γ	W_1	W_2	f_1 / λ	f_2 / ζ	$\frac{-v_0}{GU_0} \sqrt{\text{Re}}$
1	x_1^m	1	$\alpha(1-m)x_1^{m-1}$	γx_2	$x_1^{\frac{1-m}{2}}$	1	$x_1^{\frac{m-1}{2}}$
2	x_1	x_2^{n-1}	α	$\frac{\gamma}{1-n} x_2^n$	1	$x_2^{\frac{1-n}{2}}$	$x_1^{\frac{n-1}{2}}$
3	x_1^m	x_2^{-m}	αx_1^{m-1}	γx_2^{1-m}	$x_1^{\frac{1-m}{2}}$	$x_2^{\frac{-m!}{2}}$	$x_1^{\frac{m-1}{2}} x_2^{\frac{m}{2}}$
4	x_1	1	β	εx_2	1	1	1
5	x_1^m	1	βx_1^{1-m}	ε	$x_1^{\frac{1-m}{2}}$	1	$x_1^{\frac{m-1}{2}}$
6	1	x_2^n	β	εx_2^{1-n}	1	$x_2^{\frac{n}{2}}$	$x_2^{\frac{-n}{2}}$
7	x_1^m	1	β	ε	$x_1^{\frac{1-m}{2}}$	1	$x_1^{\frac{m-1}{2}}$
8	1	1	β	εx_2^n	1	$x_2^{\frac{1-n}{2}}$	$x_2^{\frac{n-1}{2}}$
9	e^{mx_1}	1	β	ε	$e^{\frac{-mx_1}{2}}$	1	$e^{\frac{mx_1}{2}}$
10	1	1	β	εe^{nx_2}	1	$e^{\frac{-nx_2}{2}}$	$e^{\frac{nx_2}{2}}$
11	e^{mx_1}	1	βe^{-mx_1}	ε	$e^{\frac{-mx_1}{2}}$	1	$e^{\frac{mx_1}{2}}$
12	1	e^{nx_2}	β	εe^{-nx_2}	1	$e^{\frac{nx_2}{2}}$	$e^{\frac{-nx_2}{2}}$
13	e^{mx_1}	1	$-\alpha m e^{mx_1}$	γx_2	$e^{\frac{-mx_1}{2}}$	1	$e^{\frac{mx_1}{2}}$
14	x_1	e^{nx_2}	α	$-\frac{\gamma}{n} e^{nx_2}$	1	$e^{\frac{-nx_2}{2}}$	$e^{\frac{nx_2}{2}}$

3. Решая систему дифференциальных уравнений (2.4) относительно неизвестных f_i , V_i и W_i , можно определить, при каких законах изменения скорости внешнего потенциального потока имеют место автомодельные движения жидкости в пограничном слое.

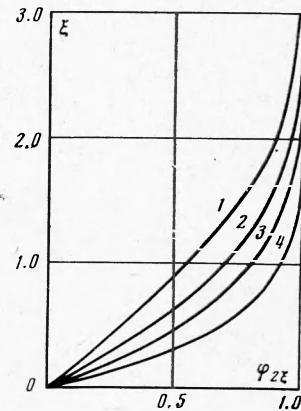
Полученные распределения скоростей V_i и W_i должны, как отмечено в [1], удовлетворять уравнениям движения невязкой жидкости, что для данной задачи дает условие

$$(3.1) \quad 2V_1 V_1' V_2 V_2' + V_1 V_2' W_1 W_2' - V_1' V_2 W_1' W_2 + V_1 W_2 (V_2'' W_1 - V_2 W_1'') - 2W_1 W_1' W_2 W_2' = 0$$

Все законы распределения скорости внешнего потока и скорости отсоса (вдува), удовлетворяющие условиям (3.1) и (2.5), представлены в таблице.



Фиг. 1



Фиг. 2

4. В качестве примера рассмотрим частный случай пространственного пограничного слоя на проницаемой поверхности, для которого имеет место автомодельное решение

$$(4.1) \quad V_1 = \alpha x_1^m, \quad V_2 = \gamma, \quad W_1 = \alpha (1-m) x_1^{m-1}, \quad W_2 = \gamma x_2 \\ f_1 = \lambda x_1^{(1-m)/2}, \quad f_2 = \xi, \quad \frac{v_0}{U_0} \sqrt{\text{Re}} = -G x_1^{(m-1)/2}$$

где α , γ , λ , ξ и G — постоянные числа.

Случай непроницаемой поверхности ($v_0 = 0$) рассмотрен в [1].

Определив коэффициенты уравнений (2.4) согласно выражениям (2.5), сделав замены переменных

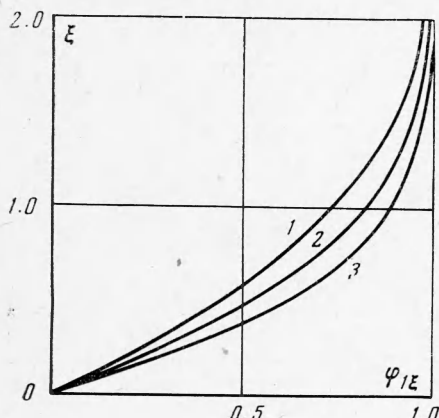
$$F_1(\eta) = \sqrt{\frac{2m}{a_1(m+1)}} \varphi_1(\xi), \quad F_2(\eta) = \sqrt{\frac{2m}{a_1(m+1)}} \varphi_2(\xi) \\ \eta = \sqrt{\frac{2m}{a_1(m+1)}} \xi$$

получим систему уравнений

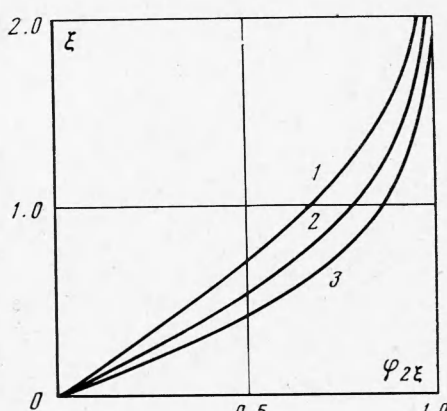
$$(4.2) \quad \varphi_{1\xi\xi\xi} + \varphi_1 \varphi_{2\xi\xi} + \frac{2(1-m)}{1+m} \varphi_2 \varphi_{1\xi\xi} + \frac{2m}{m+1} (1 - \varphi_{1\xi}^2) + Q \varphi_{2\xi\xi} = 0 \\ \varphi_{2\xi\xi\xi} + \varphi_1 \varphi_{2\xi\xi} - \frac{2(1-m)}{1+m} (\varphi_{2\xi}^2 - \varphi_2 \varphi_{2\xi\xi} - \varphi_{1\xi} \varphi_{2\xi}) + Q \varphi_{2\xi\xi} = 0 \\ Q = G \sqrt{\frac{2m}{a_1(m+1)}}$$

Система уравнений (4.2) была численно проинтегрирована на ЭВМ «Минск-22» при граничных условиях

$$(4.3) \quad \varphi_1 = 0, \quad \varphi_2 = 0, \quad \varphi_{1\xi} = 0, \quad \varphi_{2\xi} = 0 \quad \text{при } \xi = 0 \\ \varphi_{1\xi} = 1, \quad \varphi_{2\xi} = 1 \quad \text{при } \xi = \infty$$



Фиг. 3



Фиг. 4

Результаты расчета распределения скорости в пограничном слое для нескольких параметров задачи представлены на фиг. 1—4. Величина параметра m составляла 1 для кривых фиг. 1 и 2, $1/3$ — для кривых фиг. 3 и 4. Кривым 1, 2, 3, 4 соответствуют $Q = 0, 0.5, 1.0, 2$.

Поступила 11 VI 1973

ЛИТЕРАТУРА

1. Каракин Ю. Е. Автомодельные задачи пространственного пограничного слоя. Тр. Ленингр. политехи. ин-та, 1965, № 248.

УДК 532.582.32

О ДВИЖЕНИИ ВЯЗКОЙ ЖИДКОСТИ МЕЖДУ ДВУМЯ ВРАЩАЮЩИМИСЯ СФЕРАМИ

Ю. Г. Овсеенко

(Новочеркасск)

В нелинейной постановке рассматривается установившееся неосесимметричное движение несжимаемой вязкой жидкости между двумя концентрическими сферами, вращающимися с постоянными угловыми скоростями вокруг разных осей, проходящих через их общий центр. Определяется силовое воздействие жидкости на внутреннюю сферу, которое сводится к моменту сопротивления вращению.

Пусть радиусы сфер r_1 и r_2 ($r_1 < r_2$), их угловые скорости ω_1 и ω_2 , угол между осями вращения β . В сферической системе координат r, ϕ, θ , расположенной так, что ось вращения внутренней сферы лежит на прямой $\theta = 0$, а внешней — в плоскости $\phi = 0$, граничные условия задачи таковы ($v_i = \omega_i r_i$, $i = 1, 2$):

$$(1) \quad \begin{aligned} v_\phi &= v_1 \sin \theta, \quad v_r = 0, \quad v_\theta = 0 && \text{при } r = r_1 \\ v_\phi &= v_2 (\cos \beta \sin \theta - \sin \beta \cos \theta \cos \phi), \quad v_r = 0, \quad v_\theta = -v_2 \sin \beta \sin \phi && \text{при } r = r_2 \end{aligned}$$

Решение уравнений Навье — Стокса и неразрывности [1] при предельных условиях (1), записанных в безразмерных величинах, разыскивается в виде рядов по степеням числа Рейнольдса R , которые сходятся при малых значениях этого числа [2,3] и коэффициенты которых могут быть найдены методом разделения переменных и вы-